

Eingabe: Farbmétrisches Natürliches-Reflektiv-System CNS18

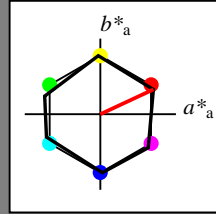
für Buntton  $h^* = lab^*h = 25/360 = 0.069$

$lab^*tch$  und  $lab^*nch$

D65: Buntton R

LCH\*Ma: 57 77 25

olv\*Ma: 1.0 0.0 0.0



CNS18; adaptierte CIELAB-Daten

	$L^*=L^*_a$	$a^*_a$	$b^*_a$	$C^*_{ab,a}$	$h^*_{ab,a}$
RMa	56.7	70.15	32.71	77.4	25
JMa	56.7	-2.69	77.35	77.4	92
GMa	56.7	-73.6	23.92	77.4	162
G50B <sub>Ma</sub>	56.7	-71.24	-30.23	77.4	203
B <sub>Ma</sub>	56.7	2.7	-77.34	77.4	272
B50R <sub>Ma</sub>	56.7	63.4	-44.38	77.4	325
N <sub>Ma</sub>	18.01	0.0	0.0	0.0	0
W <sub>Ma</sub>	95.41	0.0	0.0	0.0	0
RCIE	39.92	58.74	27.99	65.07	25
JCIE	81.26	-2.88	71.56	71.62	92
GCIE	52.23	-42.41	13.6	44.55	162
BCIE	30.57	1.41	-46.46	46.49	272

Dreiecks-Helligkeit  $t^*$

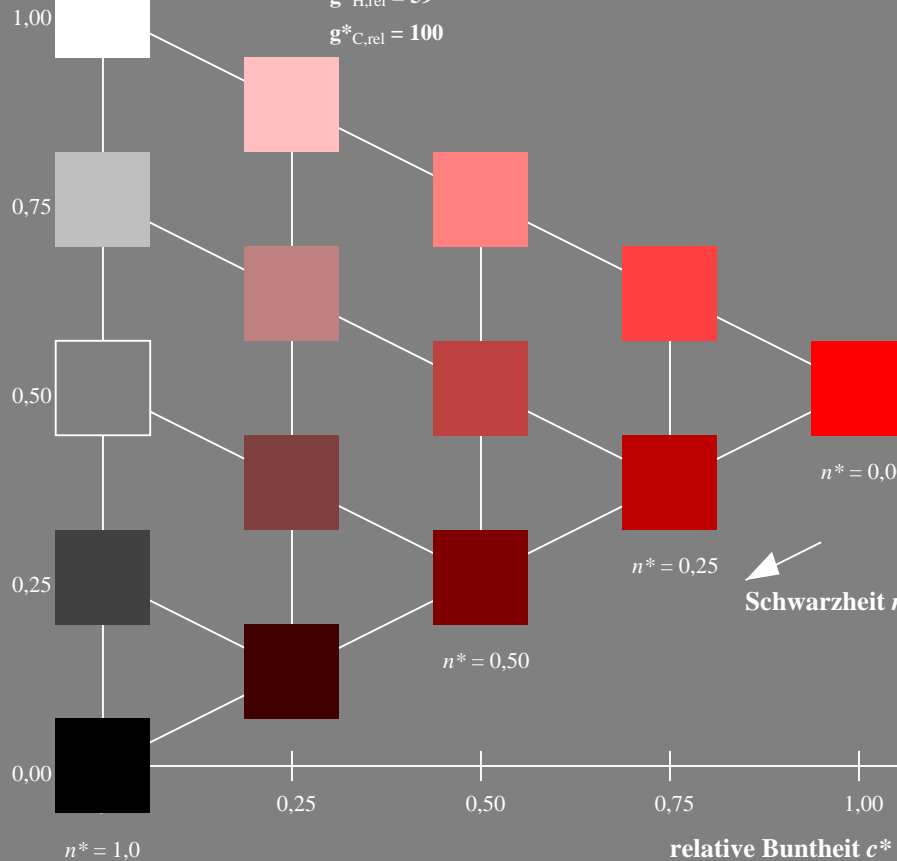
%Umfang

$u^*_{rel} = 100$

%Regularität

$g^*_{H,rel} = 59$

$g^*_{C,rel} = 100$



VG320-7, 5 stufige Reihen für konstanten CIELAB Buntton 25/360 = 0.069 (links)

Ausgabe: Farbmétrisches Drucker-Reflektiv-System FRS06

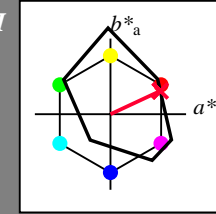
für Buntton  $h^* = lab^*h = 25/360 = 0.069$

$LAB^*LCH$ ,  $LAB^*NCH$

D65: Buntton R

LCH\*Ma: 33 73 25

olv\*Ma: 1.0 0.0 0.2



FRS06; adaptierte CIELAB-Daten

	$L^*=L^*_a$	$a^*_a$	$b^*_a$	$C^*_{ab,a}$	$h^*_{ab,a}$
OMa	32.57	62.32	46.49	77.75	37
YMa	82.73	-3.16	113.99	114.03	92
LMa	39.43	-61.79	45.84	76.95	143
CMa	47.86	-26.79	-34.24	43.49	232
VMa	10.16	55.12	-61.03	82.24	312
MMa	34.5	80.68	-33.92	87.52	337
N <sub>Ma</sub>	6.25	0.0	0.0	0.0	0
W <sub>Ma</sub>	91.97	0.0	0.0	0.0	0
RCIE	39.92	59.8	31.05	67.38	27
JCIE	81.26	-2.52	76.25	76.29	92
GCIE	52.23	-41.56	17.14	44.96	158
BCIE	30.57	2.63	-43.77	43.86	273

CIELAB-Helligkeit  $L^*$

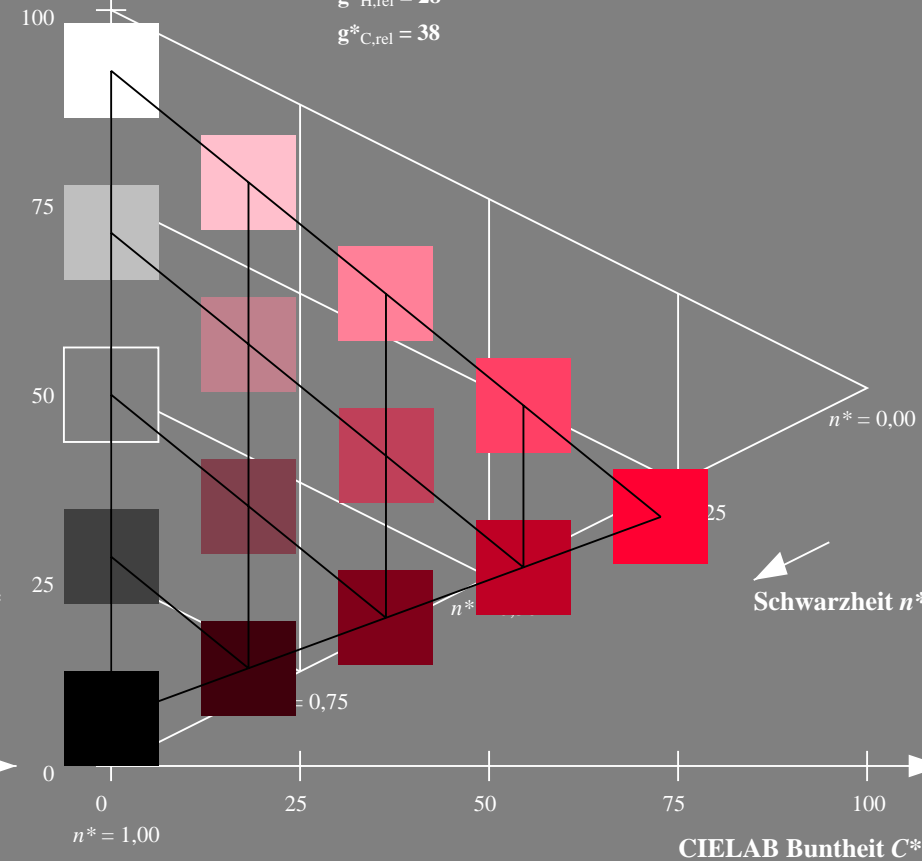
%Umfang

$u^*_{rel} = 115$

%Regularität

$g^*_{H,rel} = 28$

$g^*_{C,rel} = 38$



5 stufige Reihen für konstanten CIELAB Buntton 25/360 = 0.069 (rechts)

BAM-Prüfvorlage VG32; Farbmétrik-Systeme NRS18 & FRS06 input: olv\* setrgbcolor

D65: Koordinatensysteme; 5stufige Farbreihen für 10 Bunttöne output: no change compared to input

Eingabe: Farbmétrisches Natürliches-Reflektiv-System CNS18

für Buntton  $h^* = lab \cdot h = 92/360 = 0.256$

$lab \cdot tch$  und  $lab \cdot nch$

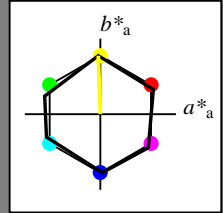
D65: Buntton J

LCH\*Ma: 57 77 92

olv\*Ma: 1.0 1.0 0.0

CNS18; adaptierte CIELAB-Daten

	$L^* = L^*_a$	$a^*_a$	$b^*_a$	$C^*_{ab,a}$	$h^*_{ab,a}$
RMa	56.7	70.15	32.71	77.4	25
JMa	56.7	-2.69	77.35	77.4	92
GMa	56.7	-73.6	23.92	77.4	162
G50B <sub>Ma</sub>	56.7	-71.24	-30.23	77.4	203
B <sub>Ma</sub>	56.7	2.7	-77.34	77.4	272
B50R <sub>Ma</sub>	56.7	63.4	-44.38	77.4	325
N <sub>Ma</sub>	18.01	0.0	0.0	0.0	0
W <sub>Ma</sub>	95.41	0.0	0.0	0.0	0
RCIE	39.92	58.74	27.99	65.07	25
JCIE	81.26	-2.88	71.56	71.62	92
GCIE	52.23	-42.41	13.6	44.55	162
BCIE	30.57	1.41	-46.46	46.49	272



Dreiecks-Helligkeit  $t^*$

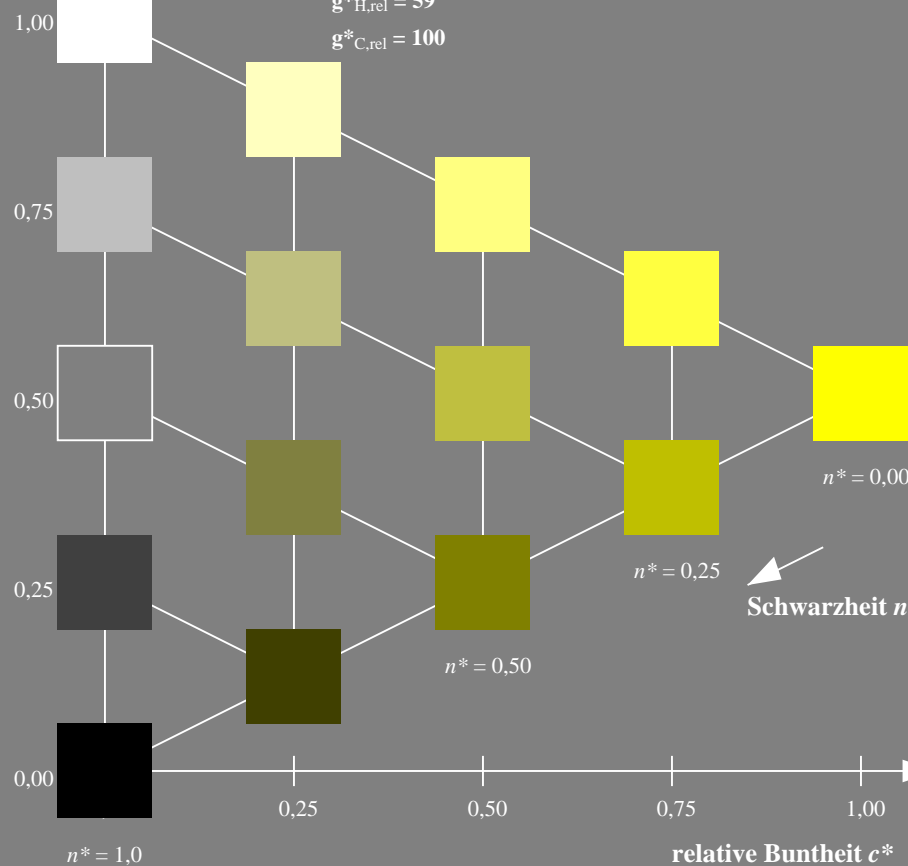
%Umfang

$u^*_{rel} = 100$

%Regularität

$g^*_{H,rel} = 59$

$g^*_{C,rel} = 100$



VG320-7, 5 stufige Reihen für konstanten CIELAB Buntton 92/360 = 0.256 (links)

Ausgabe: Farbmétrisches Drucker-Reflektiv-System FRS06

für Buntton  $h^* = lab \cdot h = 92/360 = 0.256$

$LAB \cdot LCH$ ,  $LAB \cdot NCH$

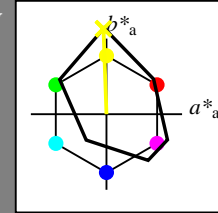
D65: Buntton J

LCH\*Ma: 82 113 92

olv\*Ma: 0.99 1.0 0.0

FRS06; adaptierte CIELAB-Daten

	$L^* = L^*_a$	$a^*_a$	$b^*_a$	$C^*_{ab,a}$	$h^*_{ab,a}$
OMa	32.57	62.32	46.49	77.75	37
YMa	82.73	-3.16	113.99	114.03	92
LMa	39.43	-61.79	45.84	76.95	143
CMa	47.86	-26.79	-34.24	43.49	232
V <sub>Ma</sub>	10.16	55.12	-61.03	82.24	312
M <sub>Ma</sub>	34.5	80.68	-33.92	87.52	337
N <sub>Ma</sub>	6.25	0.0	0.0	0.0	0
W <sub>Ma</sub>	91.97	0.0	0.0	0.0	0
RCIE	39.92	59.8	31.05	67.38	27
JCIE	81.26	-2.52	76.25	76.29	92
GCIE	52.23	-41.56	17.14	44.96	158
BCIE	30.57	2.63	-43.77	43.86	273



CIELAB-Helligkeit  $L^*$

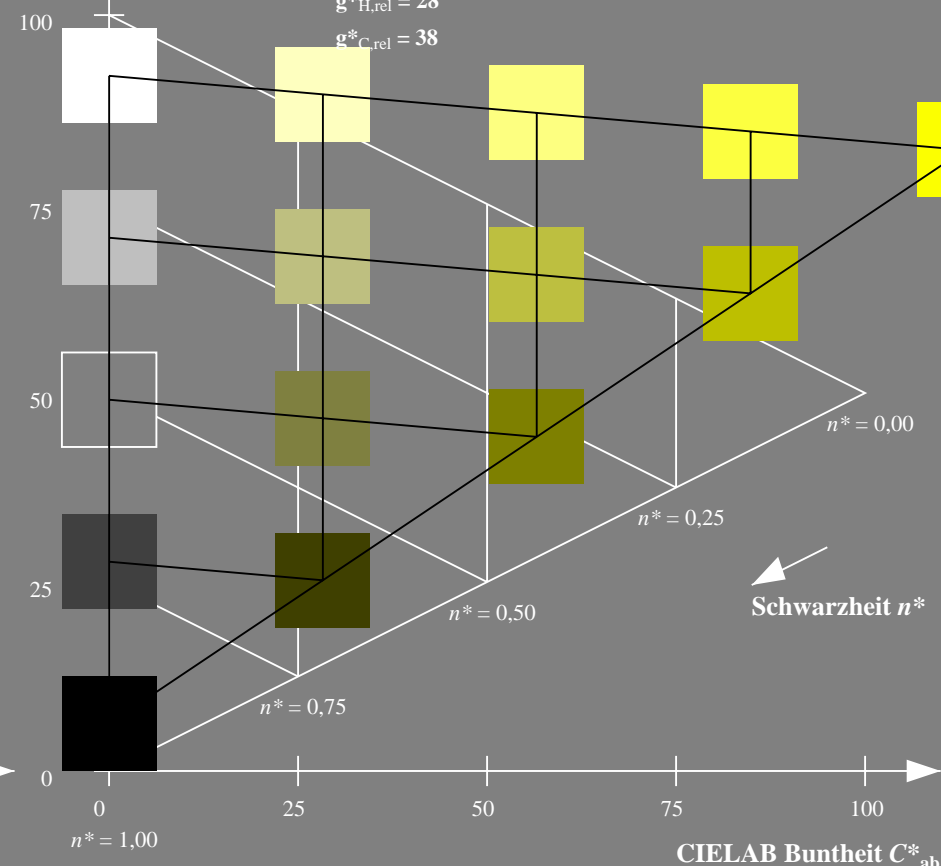
%Umfang

$u^*_{rel} = 115$

%Regularität

$g^*_{H,rel} = 28$

$g^*_{C,rel} = 38$



5 stufige Reihen für konstanten CIELAB Buntton 92/360 = 0.256 (rechts)

BAM-Prüfvorlage VG32; Farbmétrik-Systeme NRS18 & FRS06 input: olv\* setrgbcolor

D65: Koordinatensysteme; 5stufige Farbreihen für 10 Bunttöne output: no change compared to input

### Eingabe: Farbmétrisches Natürliches-Reflektiv-System CNS18

für Buntton  $h^* = lab^*h = 162/360 = 0.45$

$lab^*tch$  und  $lab^*nch$

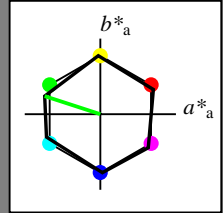
D65: Buntton G

LCH\*Ma: 57 77 162

olv\*Ma: 0.0 1.0 0.0

#### CNS18; adaptierte CIELAB-Daten

	$L^*=L^*_a$	$a^*_a$	$b^*_a$	$C^*_{ab,a}$	$h^*_{ab,a}$
RMa	56.7	70.15	32.71	77.4	25
JMa	56.7	-2.69	77.35	77.4	92
GMa	56.7	-73.6	23.92	77.4	162
G50BMa	56.7	-71.24	-30.23	77.4	203
BMa	56.7	2.7	-77.34	77.4	272
B50RMa	56.7	63.4	-44.38	77.4	325
NMa	18.01	0.0	0.0	0.0	0
WMa	95.41	0.0	0.0	0.0	0
RCIE	39.92	58.74	27.99	65.07	25
JCIE	81.26	-2.88	71.56	71.62	92
GCIE	52.23	-42.41	13.6	44.55	162
BCIE	30.57	1.41	-46.46	46.49	272



Dreiecks-Helligkeit  $t^*$

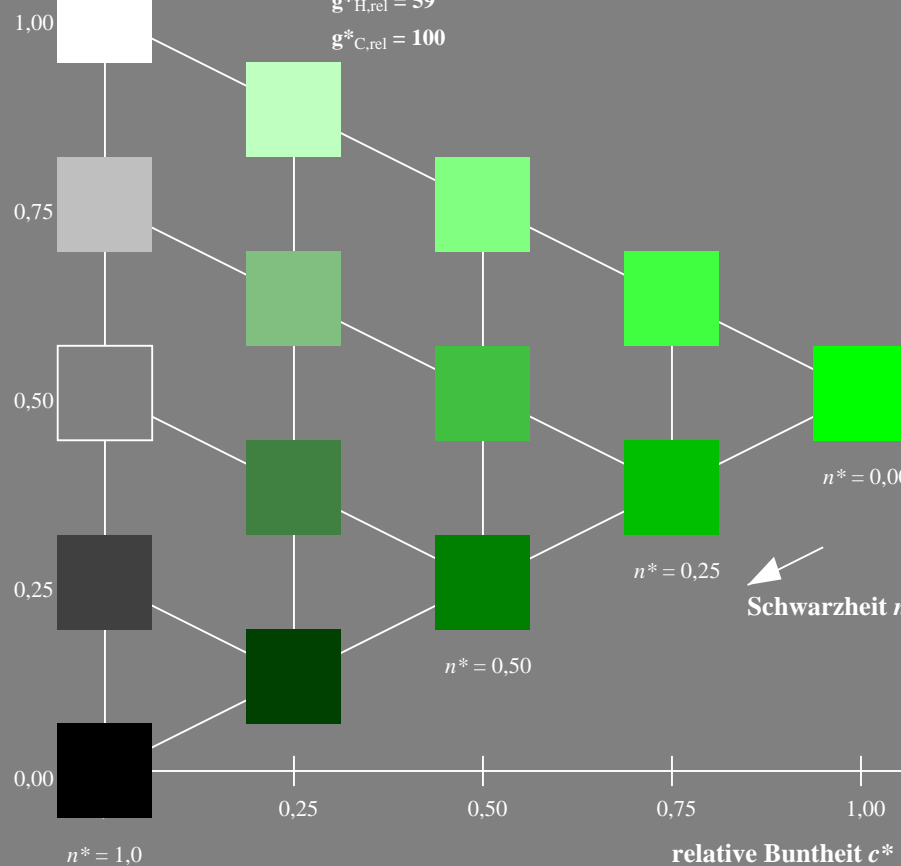
%Umfang

$u^*_{rel} = 100$

%Regularität

$g^*_{H,rel} = 59$

$g^*_{C,rel} = 100$



VG320-7, 5 stufige Reihen für konstanten CIELAB Buntton 162/360 = 0.45 (links)

### Ausgabe: Farbmétrisches Drucker-Reflektiv-System FRS06

für Buntton  $h^* = lab^*h = 162/360 = 0.45$

$LAB^*LCH$ ,  $LAB^*NCH$

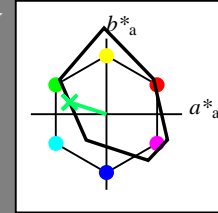
D65: Buntton G

LCH\*Ma: 43 51 162

olv\*Ma: 0.0 1.0 0.37

#### FRS06; adaptierte CIELAB-Daten

	$L^*=L^*_a$	$a^*_a$	$b^*_a$	$C^*_{ab,a}$	$h^*_{ab,a}$
OMa	32.57	62.32	46.49	77.75	37
YMa	82.73	-3.16	113.99	114.03	92
LMa	39.43	-61.79	45.84	76.95	143
CMa	47.86	-26.79	-34.24	43.49	232
VMa	10.16	55.12	-61.03	82.24	312
MMa	34.5	80.68	-33.92	87.52	337
NMa	6.25	0.0	0.0	0.0	0
WMa	91.97	0.0	0.0	0.0	0
RCIE	39.92	59.8	31.05	67.38	27
JCIE	81.26	-2.52	76.25	76.29	92
GCIE	52.23	-41.56	17.14	44.96	158
BCIE	30.57	2.63	-43.77	43.86	273



CIELAB-Helligkeit  $L^*$

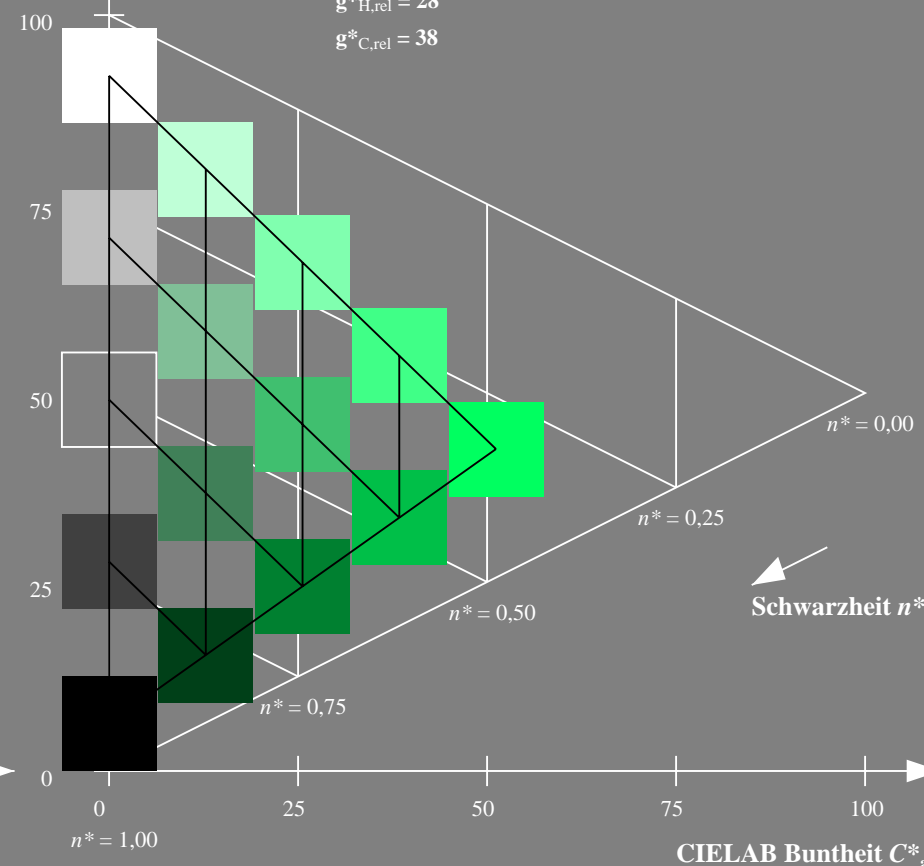
%Umfang

$u^*_{rel} = 115$

%Regularität

$g^*_{H,rel} = 28$

$g^*_{C,rel} = 38$



5 stufige Reihen für konstanten CIELAB Buntton 162/360 = 0.45 (rechts)

BAM-Prüfvorlage VG32; Farbmétrik-Systeme NRS18 & FRS06 input: olv\* setrgbcolor

D65: Koordinatensysteme; 5stufige Farbreihen für 10 Bunttöne output: no change compared to input

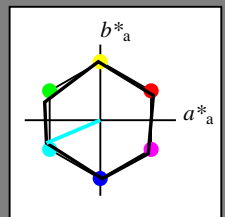
Eingabe: Farbmétrisches Natürliches-Reflektiv-System CNS18

für Buntton  $h^* = lab^*h = 203/360 = 0.564$   
 $lab^*tch$  und  $lab^*nch$

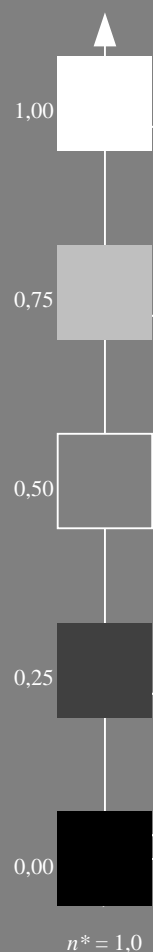
D65: Buntton G50B  
LCH\*Ma: 57 77 203  
olv\*Ma: 0.0 1.0 1.0

CNS18; adaptierte CIELAB-Daten

	$L^*=L^*_a$	$a^*_a$	$b^*_a$	$C^*_{ab,a}$	$h^*_{ab,a}$
RMa	56.7	70.15	32.71	77.4	25
JMa	56.7	-2.69	77.35	77.4	92
GMa	56.7	-73.6	23.92	77.4	162
G50B <sub>Ma</sub>	56.7	-71.24	-30.23	77.4	203
B <sub>Ma</sub>	56.7	2.7	-77.34	77.4	272
B50R <sub>Ma</sub>	56.7	63.4	-44.38	77.4	325
N <sub>Ma</sub>	18.01	0.0	0.0	0.0	0
W <sub>Ma</sub>	95.41	0.0	0.0	0.0	0
RCIE	39.92	58.74	27.99	65.07	25
JCIE	81.26	-2.88	71.56	71.62	92
GCIE	52.23	-42.41	13.6	44.55	162
BCIE	30.57	1.41	-46.46	46.49	272



Dreiecks-Helligkeit  $t^*$



%Umfang  
 $u^*_{rel} = 100$   
%Regularität  
 $g^*_{H,rel} = 59$   
 $g^*_{C,rel} = 100$

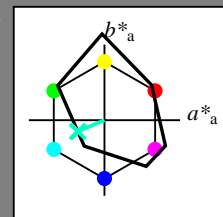
Ausgabe: Farbmétrisches Drucker-Reflektiv-System FRS06

für Buntton  $h^* = lab^*h = 203/360 = 0.564$   
 $LAB^*LCH$ ,  $LAB^*NCH$

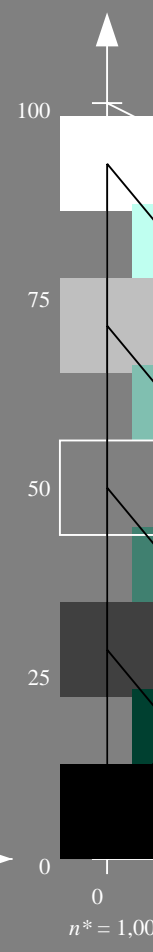
D65: Buntton G50B  
LCH\*Ma: 46 38 203  
olv\*Ma: 0.0 1.0 0.76

FRS06; adaptierte CIELAB-Daten

	$L^*=L^*_a$	$a^*_a$	$b^*_a$	$C^*_{ab,a}$	$h^*_{ab,a}$
OMa	32.57	62.32	46.49	77.75	37
YMa	82.73	-3.16	113.99	114.03	92
LMa	39.43	-61.79	45.84	76.95	143
CMa	47.86	-26.79	-34.24	43.49	232
VMa	10.16	55.12	-61.03	82.24	312
MMa	34.5	80.68	-33.92	87.52	337
N <sub>Ma</sub>	6.25	0.0	0.0	0.0	0
W <sub>Ma</sub>	91.97	0.0	0.0	0.0	0
RCIE	39.92	59.8	31.05	67.38	27
JCIE	81.26	-2.52	76.25	76.29	92
GCIE	52.23	-41.56	17.14	44.96	158
BCIE	30.57	2.63	-43.77	43.86	273



CIELAB-Helligkeit  $L^*$



%Umfang  
 $u^*_{rel} = 115$   
%Regularität  
 $g^*_{H,rel} = 28$   
 $g^*_{C,rel} = 38$

Schwarzheit  $n^*$

VG320-7, 5 stufige Reihen für konstanten CIELAB Buntton 203/360 = 0.564 (links)

5 stufige Reihen für konstanten CIELAB Buntton 203/360 = 0.564 (rechts)

BAM-Prüfvorlage VG32; Farbmétrik-Systeme NRS18 & FRS06 input: olv\* setrgbcolor

D65: Koordinatensysteme; 5stufige Farbreihen für 10 Bunttöne output: no change compared to input

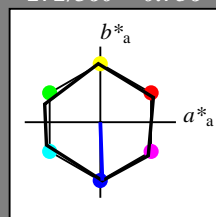
Eingabe: Farbmétrisches Natürliches-Reflektiv-System CNS18

für Buntton  $h^* = lab^*h = 272/360 = 0.756$   
 $lab^*tch$  und  $lab^*nch$

D65: Buntton B  
LCH\*Ma: 57 77 272  
olv\*Ma: 0.0 0.0 1.0

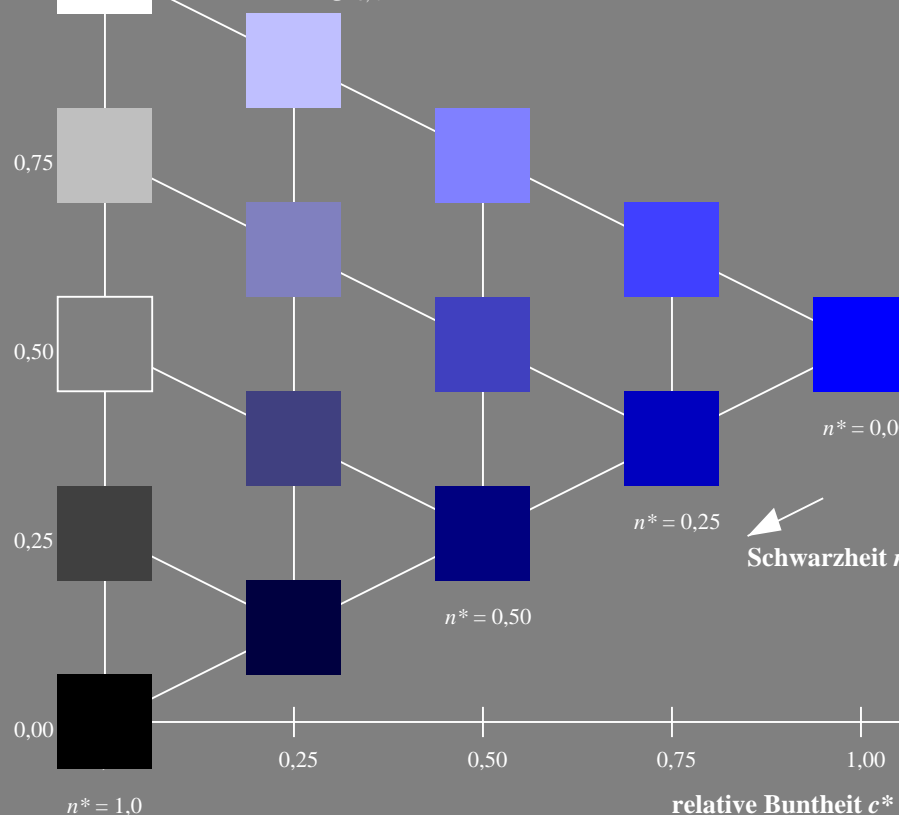
CNS18; adaptierte CIELAB-Daten

	$L^*=L^*_a$	$a^*_a$	$b^*_a$	$C^*_{ab,a}$	$h^*_{ab,a}$
RMa	56.7	70.15	32.71	77.4	25
JMa	56.7	-2.69	77.35	77.4	92
GMa	56.7	-73.6	23.92	77.4	162
G50B <sub>Ma</sub>	56.7	-71.24	-30.23	77.4	203
B <sub>Ma</sub>	56.7	2.7	-77.34	77.4	272
B50R <sub>Ma</sub>	56.7	63.4	-44.38	77.4	325
N <sub>Ma</sub>	18.01	0.0	0.0	0.0	0
W <sub>Ma</sub>	95.41	0.0	0.0	0.0	0
RCIE	39.92	58.74	27.99	65.07	25
JCIE	81.26	-2.88	71.56	71.62	92
GCIE	52.23	-42.41	13.6	44.55	162
BCIE	30.57	1.41	-46.46	46.49	272



Dreiecks-Helligkeit  $t^*$

%Umfang  
 $u^*_{rel} = 100$   
%Regularität  
 $g^*_{H,rel} = 59$   
 $g^*_{C,rel} = 100$



VG320-7, 5 stufige Reihen für konstanten CIELAB Buntton 272/360 = 0.756 (links)

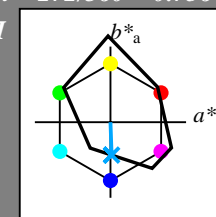
Ausgabe: Farbmétrisches Drucker-Reflektiv-System FRS06

für Buntton  $h^* = lab^*h = 272/360 = 0.756$   
 $LAB^*LCH$ ,  $LAB^*NCH$

D65: Buntton B  
LCH\*Ma: 35 44 272  
olv\*Ma: 0.0 0.65 1.0

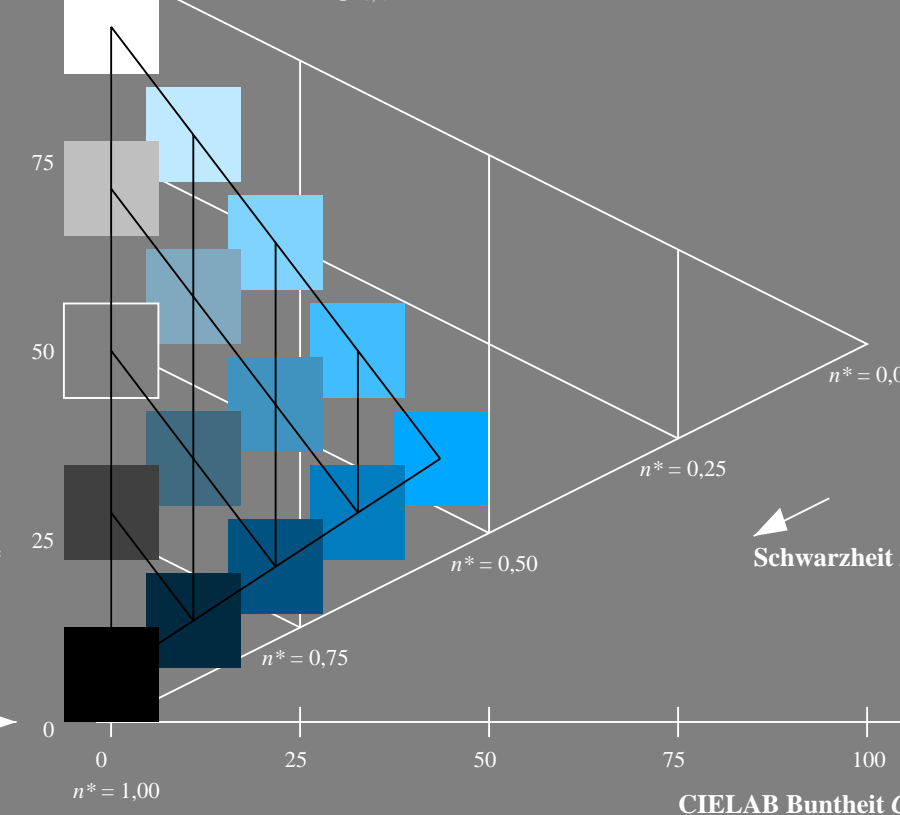
FRS06; adaptierte CIELAB-Daten

	$L^*=L^*_a$	$a^*_a$	$b^*_a$	$C^*_{ab,a}$	$h^*_{ab,a}$
OMa	32.57	62.32	46.49	77.75	37
YMa	82.73	-3.16	113.99	114.03	92
LMa	39.43	-61.79	45.84	76.95	143
CMa	47.86	-26.79	-34.24	43.49	232
VMa	10.16	55.12	-61.03	82.24	312
MMa	34.5	80.68	-33.92	87.52	337
N <sub>Ma</sub>	6.25	0.0	0.0	0.0	0
W <sub>Ma</sub>	91.97	0.0	0.0	0.0	0
RCIE	39.92	59.8	31.05	67.38	27
JCIE	81.26	-2.52	76.25	76.29	92
GCIE	52.23	-41.56	17.14	44.96	158
BCIE	30.57	2.63	-43.77	43.86	273



CIELAB-Helligkeit  $L^*$

%Umfang  
 $u^*_{rel} = 115$   
%Regularität  
 $g^*_{H,rel} = 28$   
 $g^*_{C,rel} = 38$



5 stufige Reihen für konstanten CIELAB Buntton 272/360 = 0.756 (rechts)

BAM-Prüfvorlage VG32; Farbmétrik-Systeme NRS18 & FRS06 input: olv\* setrgbcolor

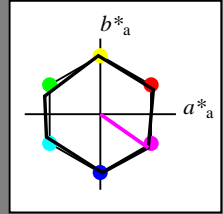
D65: Koordinatensysteme; 5stufige Farbreihen für 10 Bunttöne output: no change compared to input

Eingabe: Farbmétrisches Natürliches-Reflektiv-System CNS18

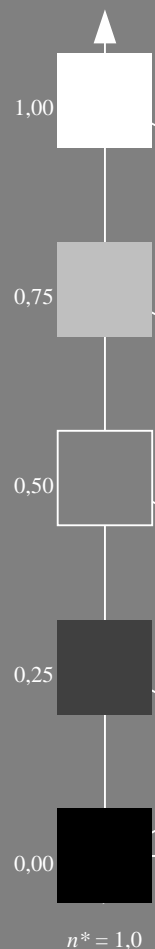
für Buntton  $h^* = lab \cdot h = 325/360 = 0.903$   
 $lab \cdot tch$  und  $lab \cdot nch$

D65: Buntton B50R  
LCH\*Ma: 57 77 325  
olv\*Ma: 1.0 0.0 1.0

CNS18; adaptierte CIELAB-Daten					
	$L^*=L^*_a$	$a^*_a$	$b^*_a$	$C^*_{ab,a}$	$h^*_{ab,a}$
RMa	56.7	70.15	32.71	77.4	25
JMa	56.7	-2.69	77.35	77.4	92
GMa	56.7	-73.6	23.92	77.4	162
G50BMa	56.7	-71.24	-30.23	77.4	203
BMa	56.7	2.7	-77.34	77.4	272
B50RMa	56.7	63.4	-44.38	77.4	325
NMa	18.01	0.0	0.0	0.0	0
WMa	95.41	0.0	0.0	0.0	0
RCIE	39.92	58.74	27.99	65.07	25
JCIE	81.26	-2.88	71.56	71.62	92
GCIE	52.23	-42.41	13.6	44.55	162
BCIE	30.57	1.41	-46.46	46.49	272



Dreiecks-Helligkeit  $t^*$



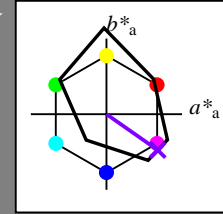
%Umfang  
 $u^*_{rel} = 100$   
%Regularität  
 $g^*_{H,rel} = 59$   
 $g^*_{C,rel} = 100$

Ausgabe: Farbmétrisches Drucker-Reflektiv-System FRS06

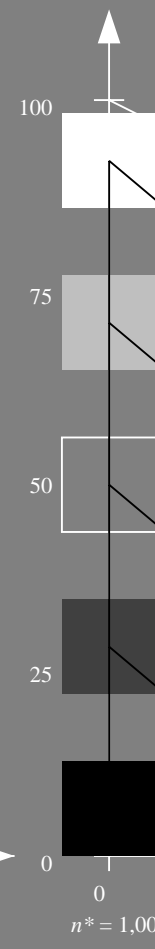
für Buntton  $h^* = lab \cdot h = 325/360 = 0.903$   
 $LAB \cdot LCH$ ,  $LAB \cdot NCH$

D65: Buntton B50R  
LCH\*Ma: 22 83 325  
olv\*Ma: 0.5 0.0 1.0

FRS06; adaptierte CIELAB-Daten					
	$L^*=L^*_a$	$a^*_a$	$b^*_a$	$C^*_{ab,a}$	$h^*_{ab,a}$
OMa	32.57	62.32	46.49	77.75	37
YMa	82.73	-3.16	113.99	114.03	92
LMa	39.43	-61.79	45.84	76.95	143
CMa	47.86	-26.79	-34.24	43.49	232
VMa	10.16	55.12	-61.03	82.24	312
MMa	34.5	80.68	-33.92	87.52	337
NMa	6.25	0.0	0.0	0.0	0
WMa	91.97	0.0	0.0	0.0	0
RCIE	39.92	59.8	31.05	67.38	27
JCIE	81.26	-2.52	76.25	76.29	92
GCIE	52.23	-41.56	17.14	44.96	158
BCIE	30.57	2.63	-43.77	43.86	273



CIELAB-Helligkeit  $L^*$



%Umfang  
 $u^*_{rel} = 115$   
%Regularität  
 $g^*_{H,rel} = 28$   
 $g^*_{C,rel} = 38$

Schwarzheit  $n^*$

Schwarzheit  $n^*$

VG320-7, 5 stufige Reihen für konstanten CIELAB Buntton 325/360 = 0.903 (links)

5 stufige Reihen für konstanten CIELAB Buntton 325/360 = 0.903 (rechts)

BAM-Prüfvorlage VG32; Farbmétrik-Systeme NRS18 & FRS06 input: olv\* setrgbcolor

D65: Koordinatensysteme; 5stufige Farbreihen für 10 Bunttöne output: no change compared to input

Eingabe: Farbmétrisches Natürliches-Reflektiv-System CNS18

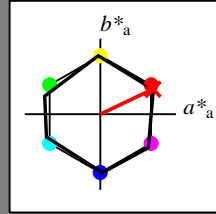
für Buntton  $h^* = lab^*h = 25/360 = 0.071$

$lab^*tch$  und  $lab^*nch$

D65: Buntton R

LCH\*Ma: 57 77 25

olv\*Ma: 1.0 0.01 0.0



CNS18; adaptierte CIELAB-Daten

	$L^*=L^*_a$	$a^*_a$	$b^*_a$	$C^*_{ab,a}$	$h^*_{ab,a}$
RMa	56.7	70.15	32.71	77.4	25
JMa	56.7	-2.69	77.35	77.4	92
GMa	56.7	-73.6	23.92	77.4	162
G50B <sub>Ma</sub>	56.7	-71.24	-30.23	77.4	203
B <sub>Ma</sub>	56.7	2.7	-77.34	77.4	272
B50R <sub>Ma</sub>	56.7	63.4	-44.38	77.4	325
N <sub>Ma</sub>	18.01	0.0	0.0	0.0	0
W <sub>Ma</sub>	95.41	0.0	0.0	0.0	0
RCIE	39.92	58.74	27.99	65.07	25
JCIE	81.26	-2.88	71.56	71.62	92
GCIE	52.23	-42.41	13.6	44.55	162
BCIE	30.57	1.41	-46.46	46.49	272

Dreiecks-Helligkeit  $t^*$

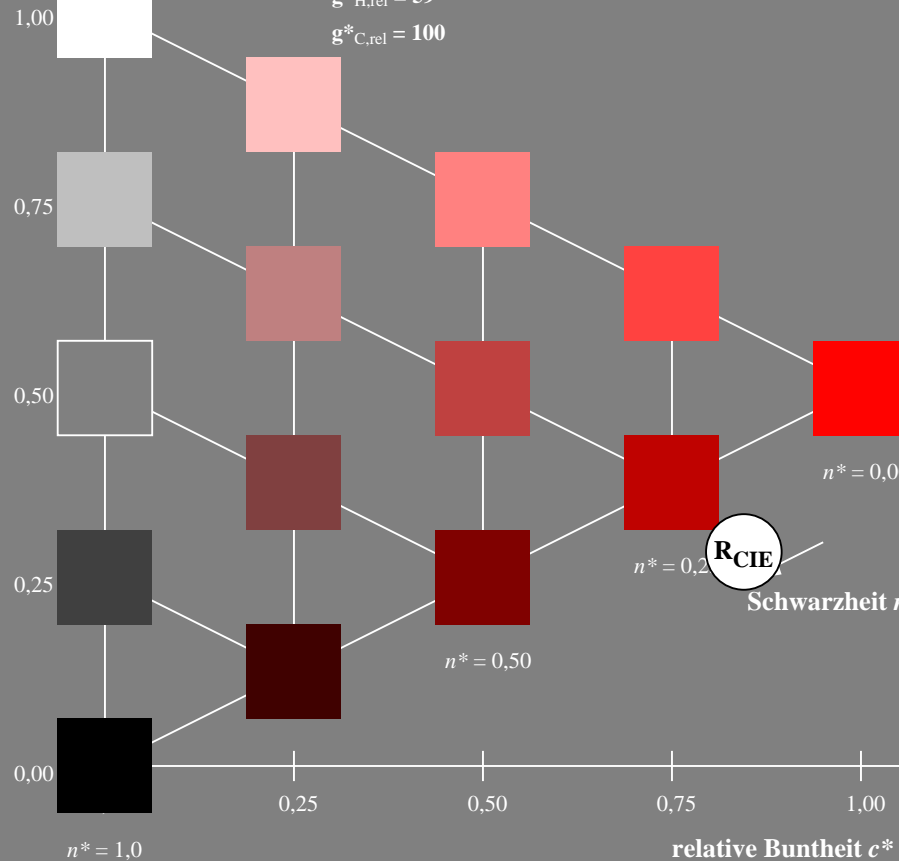
%Umfang

$u^*_{rel} = 100$

%Regularität

$g^*_{H,rel} = 59$

$g^*_{C,rel} = 100$



VG320-7, 5 stufige Reihen für konstanten CIELAB Buntton 25/360 = 0.071 (links)

Ausgabe: Farbmétrisches Drucker-Reflektiv-System FRS06

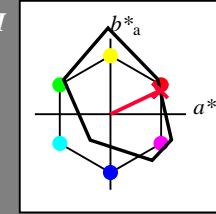
für Buntton  $h^* = lab^*h = 25/360 = 0.071$

$LAB^*LCH$ ,  $LAB^*NCH$

D65: Buntton R

LCH\*Ma: 33 73 25

olv\*Ma: 1.0 0.0 0.19



FRS06; adaptierte CIELAB-Daten

	$L^*=L^*_a$	$a^*_a$	$b^*_a$	$C^*_{ab,a}$	$h^*_{ab,a}$
OMa	32.57	62.32	46.49	77.75	37
YMa	82.73	-3.16	113.99	114.03	92
LMa	39.43	-61.79	45.84	76.95	143
CMa	47.86	-26.79	-34.24	43.49	232
VMa	10.16	55.12	-61.03	82.24	312
MMa	34.5	80.68	-33.92	87.52	337
N <sub>Ma</sub>	6.25	0.0	0.0	0.0	0
W <sub>Ma</sub>	91.97	0.0	0.0	0.0	0
RCIE	39.92	59.8	31.05	67.38	27
JCIE	81.26	-2.52	76.25	76.29	92
GCIE	52.23	-41.56	17.14	44.96	158
BCIE	30.57	2.63	-43.77	43.86	273

CIELAB-Helligkeit  $L^*$

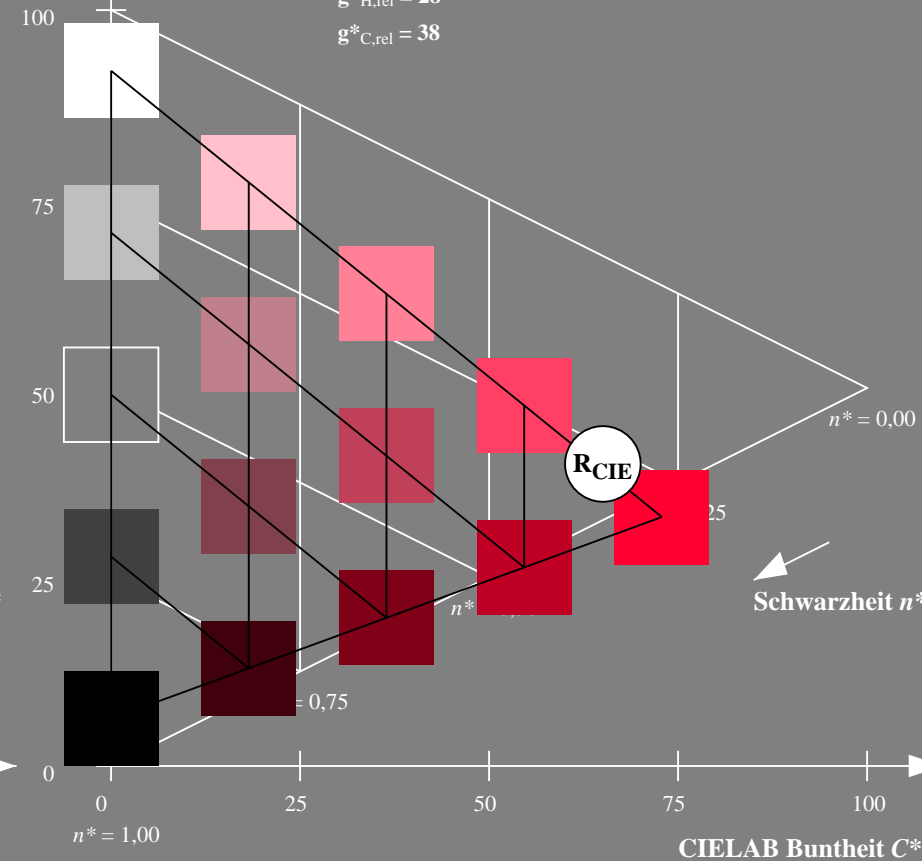
%Umfang

$u^*_{rel} = 115$

%Regularität

$g^*_{H,rel} = 28$

$g^*_{C,rel} = 38$



5 stufige Reihen für konstanten CIELAB Buntton 25/360 = 0.071 (rechts)

BAM-Prüfvorlage VG32; Farbmétrik-Systeme NRS18 & FRS06 input: olv\* setrgbcolor

D65: Koordinatensysteme; 5stufige Farbreihen für 10 Bunttöne output: no change compared to input



Eingabe: Farbmétrisches Natürliches-Reflektiv-System CNS18

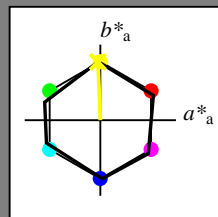
für Buntton  $h^* = lab \cdot h = 92/360 = 0.256$

$lab \cdot tch$  und  $lab \cdot nch$

D65: Buntton J

LCH\*Ma: 57 77 92

olv\*Ma: 0.99 1.0 0.0



CNS18; adaptierte CIELAB-Daten

	$L^* = L^*_a$	$a^*_a$	$b^*_a$	$C^*_{ab,a}$	$h^*_{ab,a}$
RMa	56.7	70.15	32.71	77.4	25
JMa	56.7	-2.69	77.35	77.4	92
GMa	56.7	-73.6	23.92	77.4	162
G50B <sub>Ma</sub>	56.7	-71.24	-30.23	77.4	203
B <sub>Ma</sub>	56.7	2.7	-77.34	77.4	272
B50R <sub>Ma</sub>	56.7	63.4	-44.38	77.4	325
N <sub>Ma</sub>	18.01	0.0	0.0	0.0	0
W <sub>Ma</sub>	95.41	0.0	0.0	0.0	0
RCIE	39.92	58.74	27.99	65.07	25
JCIE	81.26	-2.88	71.56	71.62	92
GCIE	52.23	-42.41	13.6	44.55	162
BCIE	30.57	1.41	-46.46	46.49	272

Dreiecks-Helligkeit  $t^*$

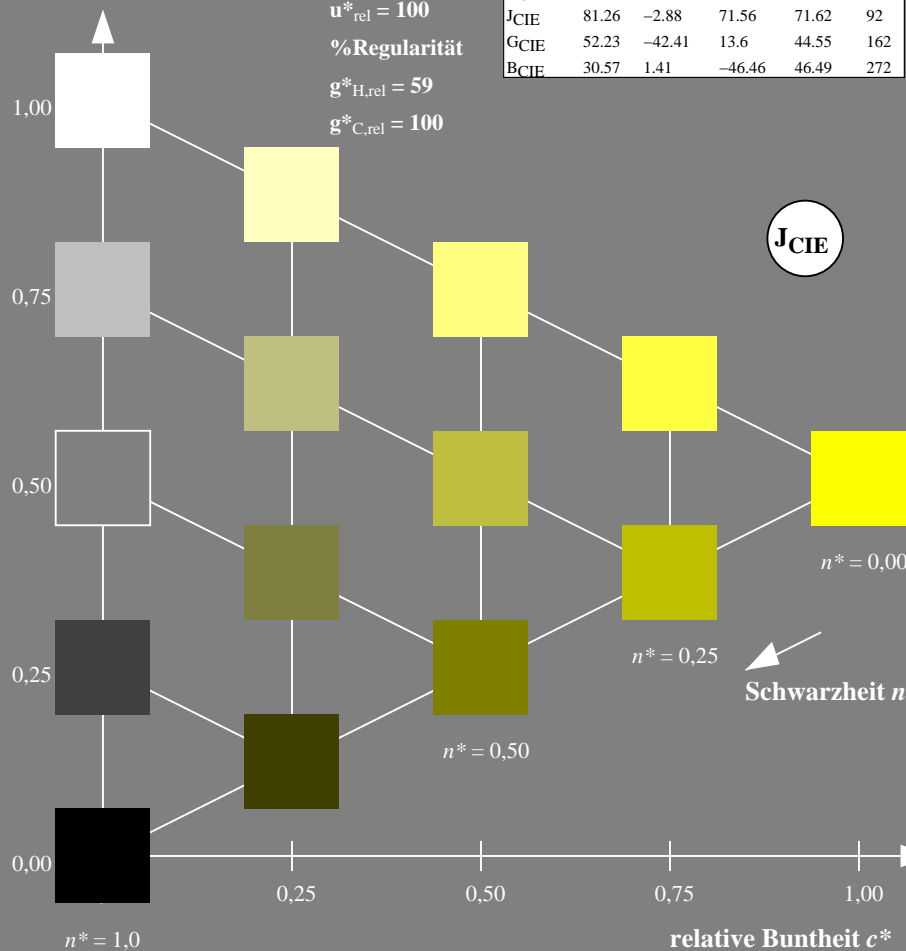
%Umfang

$u^*_{rel} = 100$

%Regularität

$g^*_{H,rel} = 59$

$g^*_{C,rel} = 100$



VG320-7, 5 stufige Reihen für konstanten CIELAB Buntton  $92/360 = 0.256$  (links)

Ausgabe: Farbmétrisches Drucker-Reflektiv-System FRS06

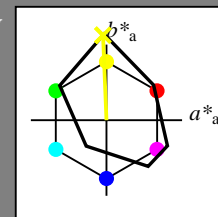
für Buntton  $h^* = lab \cdot h = 92/360 = 0.256$

$LAB \cdot LCH$ ,  $LAB \cdot NCH$

D65: Buntton J

LCH\*Ma: 82 112 92

olv\*Ma: 0.98 1.0 0.0



FRS06; adaptierte CIELAB-Daten

	$L^* = L^*_a$	$a^*_a$	$b^*_a$	$C^*_{ab,a}$	$h^*_{ab,a}$
OMa	32.57	62.32	46.49	77.75	37
YMa	82.73	-3.16	113.99	114.03	92
LMa	39.43	-61.79	45.84	76.95	143
CMa	47.86	-26.79	-34.24	43.49	232
VMa	10.16	55.12	-61.03	82.24	312
MMa	34.5	80.68	-33.92	87.52	337
N <sub>Ma</sub>	6.25	0.0	0.0	0.0	0
W <sub>Ma</sub>	91.97	0.0	0.0	0.0	0
RCIE	39.92	59.8	31.05	67.38	27
JCIE	81.26	-2.52	76.25	76.29	92
GCIE	52.23	-41.56	17.14	44.96	158
BCIE	30.57	2.63	-43.77	43.86	273

CIELAB-Helligkeit  $L^*$

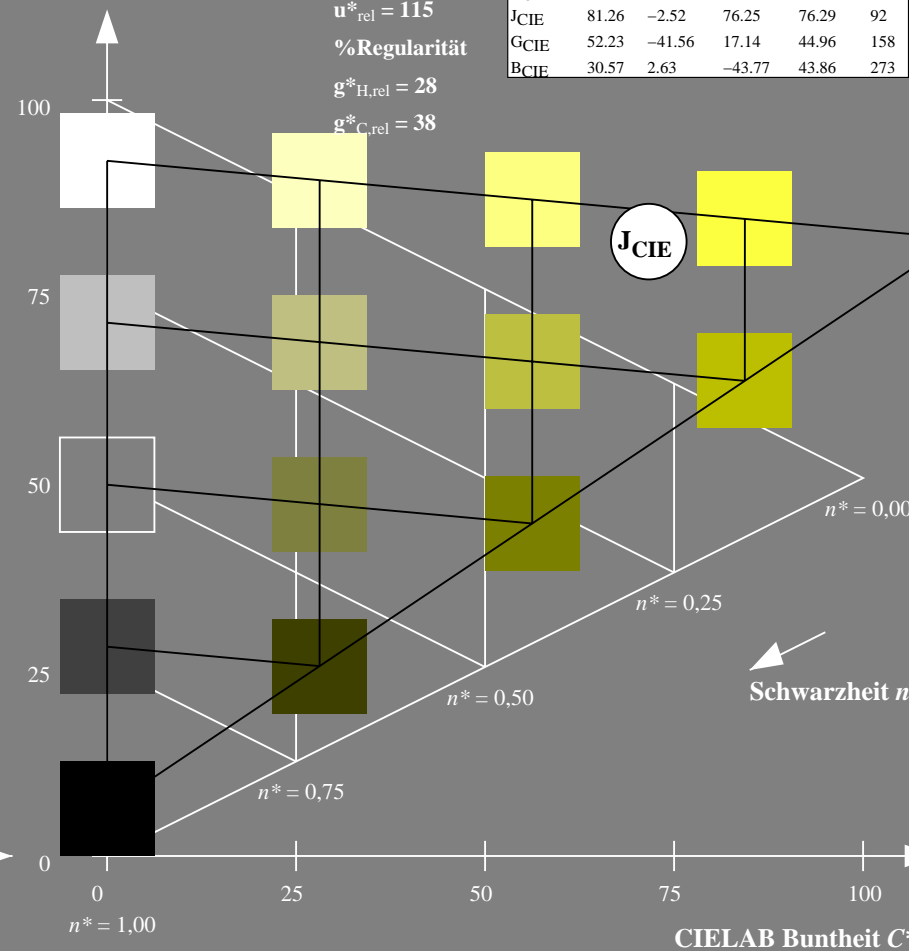
%Umfang

$u^*_{rel} = 115$

%Regularität

$g^*_{H,rel} = 28$

$g^*_{C,rel} = 38$



5 stufige Reihen für konstanten CIELAB Buntton  $92/360 = 0.256$  (rechts)

BAM-Prüfvorlage VG32; Farbmétrik-Systeme NRS18 & FRS06 input: olv\* setrgbcolor

D65: Koordinatensysteme; 5stufige Farbreihen für 10 Bunttöne output: no change compared to input



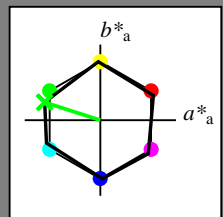
Eingabe: Farbmétrisches Natürliches-Reflektiv-System CNS18

für Buntton  $h^* = lab^*h = 162/360 = 0.451$   
 $lab^*tch$  und  $lab^*nch$

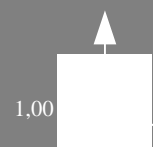
D65: Buntton G  
LCH\*Ma: 57 77 162  
olv\*Ma: 0.0 1.0 0.01

CNS18; adaptierte CIELAB-Daten

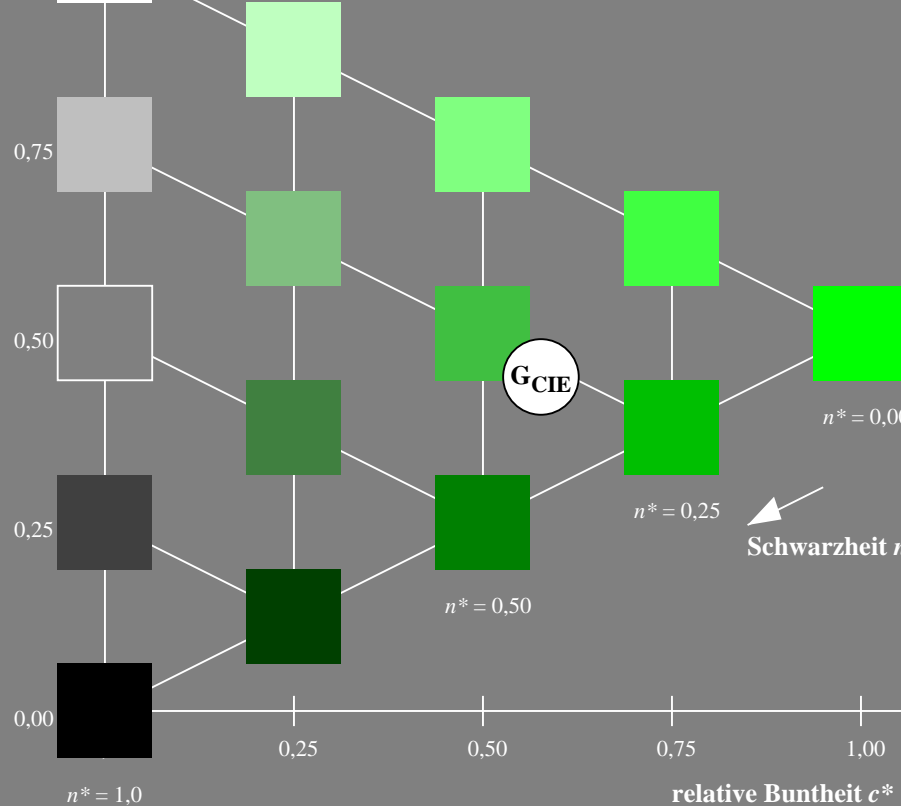
	$L^*=L_a^*$	$a_a^*$	$b_a^*$	$C_{ab,a}^*$	$h_{ab,a}^*$
RMa	56.7	70.15	32.71	77.4	25
JMa	56.7	-2.69	77.35	77.4	92
GMa	56.7	-73.6	23.92	77.4	162
G50BMa	56.7	-71.24	-30.23	77.4	203
BMa	56.7	2.7	-77.34	77.4	272
B50RMa	56.7	63.4	-44.38	77.4	325
NMa	18.01	0.0	0.0	0.0	0
WMa	95.41	0.0	0.0	0.0	0
RCIE	39.92	58.74	27.99	65.07	25
JCIE	81.26	-2.88	71.56	71.62	92
GCIE	52.23	-42.41	13.6	44.55	162
BCIE	30.57	1.41	-46.46	46.49	272



Dreiecks-Helligkeit  $t^*$



%Umfang  
 $u_{rel}^* = 100$   
%Regularität  
 $g_{H,rel}^* = 59$   
 $g_{C,rel}^* = 100$



VG320-7, 5 stufige Reihen für konstanten CIELAB Buntton 162/360 = 0.451 (links)

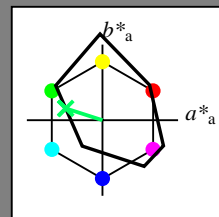
Ausgabe: Farbmétrisches Drucker-Reflektiv-System FRS06

für Buntton  $h^* = lab^*h = 162/360 = 0.451$   
 $LAB^*LCH$ ,  $LAB^*NCH$

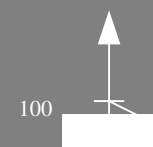
D65: Buntton G  
LCH\*Ma: 43 51 162  
olv\*Ma: 0.0 1.0 0.38

FRS06; adaptierte CIELAB-Daten

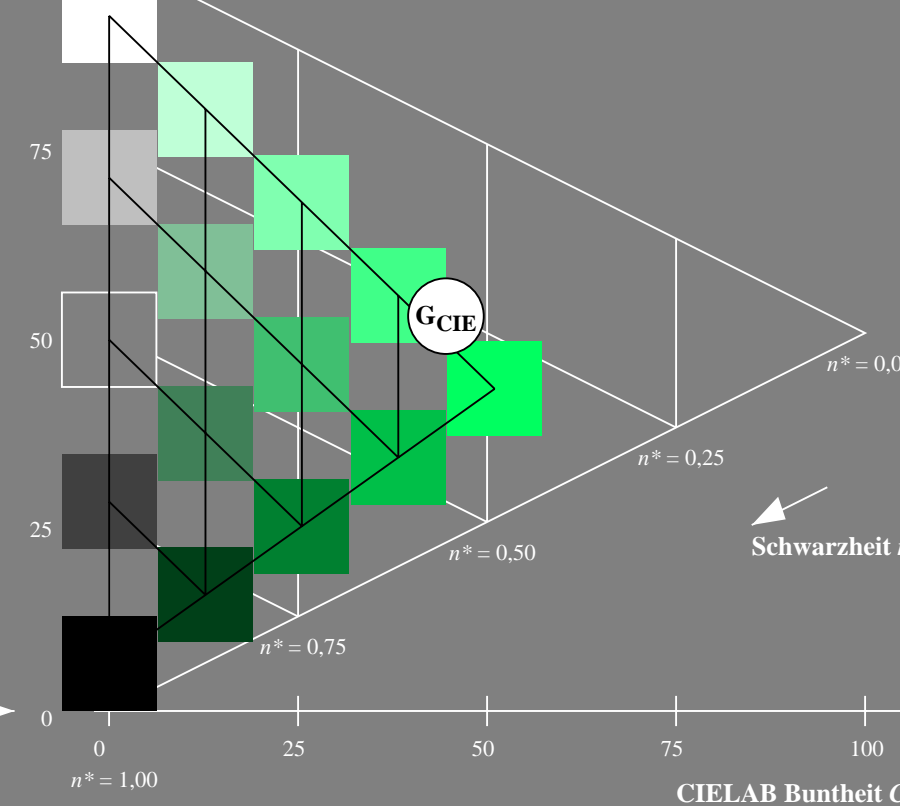
	$L^*=L_a^*$	$a_a^*$	$b_a^*$	$C_{ab,a}^*$	$h_{ab,a}^*$
OMa	32.57	62.32	46.49	77.75	37
YMa	82.73	-3.16	113.99	114.03	92
LMa	39.43	-61.79	45.84	76.95	143
CMa	47.86	-26.79	-34.24	43.49	232
VMa	10.16	55.12	-61.03	82.24	312
MMa	34.5	80.68	-33.92	87.52	337
NMa	6.25	0.0	0.0	0.0	0
WMa	91.97	0.0	0.0	0.0	0
RCIE	39.92	59.8	31.05	67.38	27
JCIE	81.26	-2.52	76.25	76.29	92
GCIE	52.23	-41.56	17.14	44.96	158
BCIE	30.57	2.63	-43.77	43.86	273



CIELAB-Helligkeit  $L^*$



%Umfang  
 $u_{rel}^* = 115$   
%Regularität  
 $g_{H,rel}^* = 28$   
 $g_{C,rel}^* = 38$



5 stufige Reihen für konstanten CIE LAB Buntton 162/360 = 0.451 (rechts)

BAM-Prüfvorlage VG32; Farbmétrik-Systeme NRS18 & FRS06 input: olv\* setrgbcolor

D65: Koordinatensysteme; 5stufige Farbreihen für 10 Bunttöne output: no change compared to input

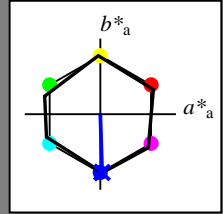
Eingabe: Farbmétrisches Natürliches-Reflektiv-System CNS18

für Buntton  $h^* = lab^*h = 272/360 = 0.755$   
 $lab^*tch$  und  $lab^*nch$

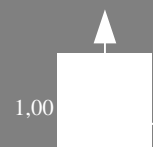
D65: Buntton B  
LCH\*Ma: 57 77 272  
olv\*Ma: 0.0 0.0 1.0

CNS18; adaptierte CIELAB-Daten

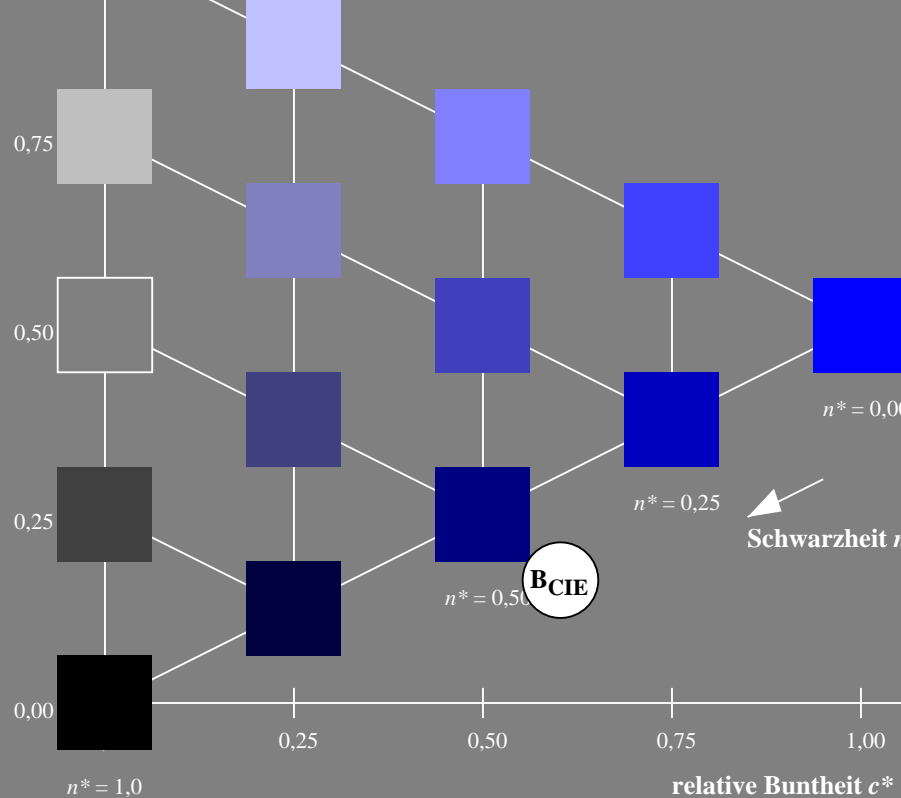
	$L^*=L^*_a$	$a^*_a$	$b^*_a$	$C^*_{ab,a}$	$h^*_{ab,a}$
RMa	56.7	70.15	32.71	77.4	25
JMa	56.7	-2.69	77.35	77.4	92
GMa	56.7	-73.6	23.92	77.4	162
G50B <sub>Ma</sub>	56.7	-71.24	-30.23	77.4	203
B <sub>Ma</sub>	56.7	2.7	-77.34	77.4	272
B50R <sub>Ma</sub>	56.7	63.4	-44.38	77.4	325
N <sub>Ma</sub>	18.01	0.0	0.0	0.0	0
W <sub>Ma</sub>	95.41	0.0	0.0	0.0	0
RCIE	39.92	58.74	27.99	65.07	25
JCIE	81.26	-2.88	71.56	71.62	92
GCIE	52.23	-42.41	13.6	44.55	162
BCIE	30.57	1.41	-46.46	46.49	272



Dreiecks-Helligkeit  $t^*$



%Umfang  
 $u^*_{rel} = 100$   
%Regularität  
 $g^*_{H,rel} = 59$   
 $g^*_{C,rel} = 100$



VG320-7, 5 stufige Reihen für konstanten CIELAB Buntton 272/360 = 0.755 (links)

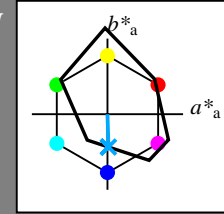
Ausgabe: Farbmétrisches Drucker-Reflektiv-System FRS06

für Buntton  $h^* = lab^*h = 272/360 = 0.755$   
 $LAB^*LCH$ ,  $LAB^*NCH$

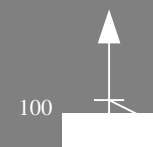
D65: Buntton B  
LCH\*Ma: 35 43 272  
olv\*Ma: 0.0 0.66 1.0

FRS06; adaptierte CIELAB-Daten

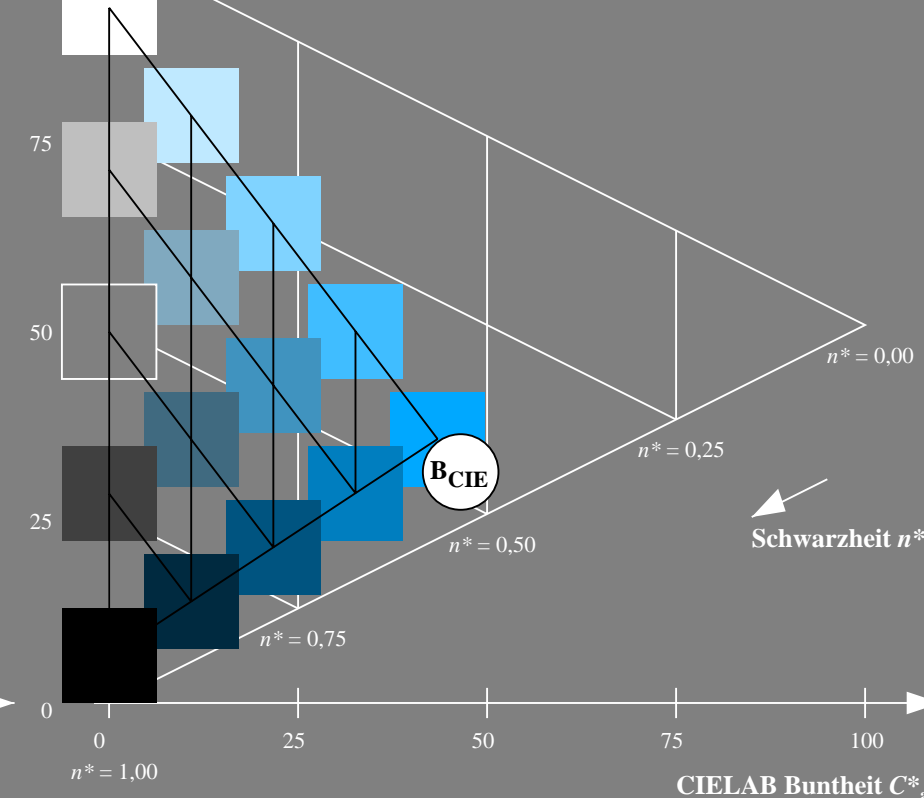
	$L^*=L^*_a$	$a^*_a$	$b^*_a$	$C^*_{ab,a}$	$h^*_{ab,a}$
OMa	32.57	62.32	46.49	77.75	37
YMa	82.73	-3.16	113.99	114.03	92
LMa	39.43	-61.79	45.84	76.95	143
CMa	47.86	-26.79	-34.24	43.49	232
V <sub>Ma</sub>	10.16	55.12	-61.03	82.24	312
M <sub>Ma</sub>	34.5	80.68	-33.92	87.52	337
N <sub>Ma</sub>	6.25	0.0	0.0	0.0	0
W <sub>Ma</sub>	91.97	0.0	0.0	0.0	0
RCIE	39.92	59.8	31.05	67.38	27
JCIE	81.26	-2.52	76.25	76.29	92
GCIE	52.23	-41.56	17.14	44.96	158
BCIE	30.57	2.63	-43.77	43.86	273



CIELAB-Helligkeit  $L^*$



%Umfang  
 $u^*_{rel} = 115$   
%Regularität  
 $g^*_{H,rel} = 28$   
 $g^*_{C,rel} = 38$



5 stufige Reihen für konstanten CIE LAB Buntton 272/360 = 0.755 (rechts)

BAM-Prüfvorlage VG32; Farbmétrik-Systeme NRS18 & FRS06 input: olv\* setrgbcolor

D65: Koordinatensysteme; 5stufige Farbreihen für 10 Bunttöne output: no change compared to input